

## 有害ガスの吸着除去プロセスに関する基礎的研究

## —第1報 垂硫酸ガスの吸着機構—

京都大学工学部

正員 平岡正勝

学生員 ○奥村知一 守永俊亮

## 1. まえがき

大気汚染物のなかで、垂硫酸ガスはその及ぼす害の大きさから、早急な防止対策が切望されている。排ガス中の垂硫酸ガスを除去する技術の研究は、日本においても現在、パイロットプラント等によって行なわれているが、実用化にはまだまだであり、

特に吸着機構、固気反応機構等の基礎的な研究が遅れていると思われる。そこで著者らは、活性炭による吸着除去法に注目し、高温域での垂硫酸ガスの活性炭への吸着量を測定し、吸着機構の検討を試みた。また Shell model を仮定しての数値解析とも併行して行なつてある。

## 2. 実験装置、条件および実験方法

吸着量測定装置としては、自動記録熱天秤（島津製作所 RT11型）を用いた。装置のフローシートをFig.1に示した。使用した活性炭の性状をTable-1に示した。

実験は、測定温度100, 120, 150°C, 垂硫酸ガスの圧力が6~55mmHgの範囲で行なった。

活性炭約500mgを熱天秤の試料容器に入れ、脱気しながら300°Cまで加熱し、約2時間、重量変化がなくなるまで脱着させ、雰囲気を0.05mmHg程度まで真空とした。真空中にしたがス溜に、垂硫酸ガスをマニホールドを見ながら所定の圧力になるように導入する。試料が所定の温度に冷却してからエックを開いて、垂硫酸ガスを熱天秤に導入して活性炭に吸着させ、その重量変化を見る。重量変化がなくなる時、その吸着量を平衡吸着量、圧力を平衡圧とする。

## 3. 実験結果および考察

a). 活性炭における垂硫酸ガスの吸着量：垂硫酸ガスの圧力と平衡吸着量との関係をFig.2に示した。吸着等温線は、フロイントリッヒ型に近似できることがわかる。Fig.1より、フロイントリッヒ式

$$\sigma = \alpha P^{\frac{1}{n}} \quad (1)$$

における定数 $\alpha$ と $\frac{1}{n}$ を求めると、各温度において、次の関

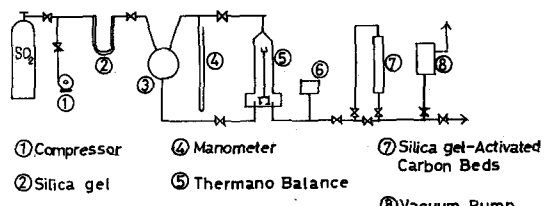


Fig.1. Schematic Diagram for Experiment

Table 1. Properties of the Activated Carbon

Surface Area	1150 m <sup>2</sup> /g
Void Fraction	0.36
True Density	2.10 g/cm <sup>3</sup>
Particle Density	1.35 g/cm <sup>3</sup>
Average Radius	2.3 mm

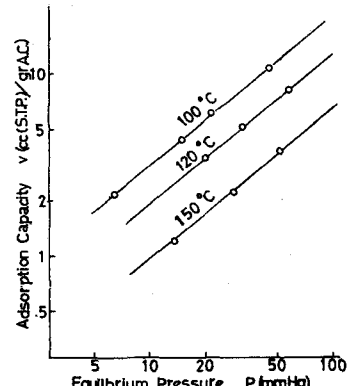


Fig.2. Adsorption Isotherm

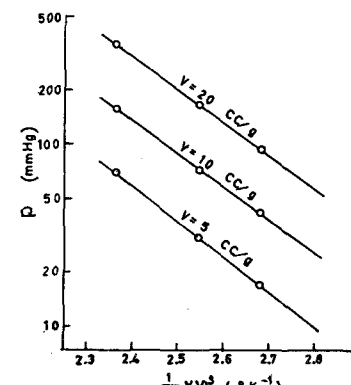


Fig.3. Isosteric Adsorption

式が得られた。

$$\begin{array}{ll} 100^{\circ}\text{C} & U = 0.499 P^{0.805} \\ 120^{\circ}\text{C} & U = 0.294 P^{0.825} \\ 150^{\circ}\text{C} & U = 0.133 P^{0.845} \end{array}$$

(U: 吸着した分子の標準状態における容積 (cc)  
P: 圧力 (mmHg))

b) 吸着熱: 吸着ガスと吸着媒を非吸着ガスと平衡にある熱力学系と考え、温度T、圧力Pで体積Uに閉じこめられた吸着ガスと吸着媒(物理吸着では不活性で無視しうる)に、溶液熱力学を適用すると、吸着ガスに対しクラウジウス-クラペイロンの式を導くときと同様な考え方を用いることができる。微分吸着熱 $\delta_{\text{iso}}$ は次式によつて与えられる。

$$\delta_{\text{iso}} = RT^2 \left( \frac{\partial \ln P}{\partial T} \right)_V = -R \left( \frac{\partial \ln P}{\partial (1/T)} \right)_V \quad (2)$$

ここで、 $\delta_{\text{iso}}$ は等量微分吸着熱であり、真の微分吸着熱 $\delta_d$ とは熱力学的に次の関係がある。 $\delta_d = \delta_{\text{iso}} - RT \quad (3)$

a)において、吸着等温式がフロイドリッヒ型で示されるので、U一定として(1)式に(2)式を適用すると、 $\delta_{\text{iso}} = -nRT^2 \left( \frac{\partial \ln a}{\partial T} \right)_V - RT^2 \left( \frac{\partial n}{\partial T} \right)_V \ln a + RT^2 \left( \frac{\partial n}{\partial T} \right)_V \ln U \quad (4)$ となり、等量微分吸着熱は $\ln U$ と直線関係にある。フロイドリッヒ式の場合、吸着等量線の一般式は  $\ln P = A + B/T \quad (5)$  で表わされる。したがつて(2)式と(5)式より

$$\delta_{\text{iso}} = -RB \quad (6) \quad \text{となり、これより } \delta_{\text{iso}} \text{ が求められる。} \quad 5, 10, 20 \text{cc}$$

(S.T.P.) の各平衡吸着量についての吸着等量線を Fig. 3 に示した。Fig. 3 の直線の勾配を求め、(5), (6)式を用いて求めた等量微分吸着熱 $\delta_{\text{iso}}$ を Table 2 に示した。

c) 吸着した分子1つが占める面積：活性炭表面積はほぼ $1150 \text{ m}^2/\text{gr}$ であるから、今 $U = 10 \text{ cc}$ とすると、吸着した分子

Table 2. Isosteric Differential Heat of Adsorption,  $\delta_{\text{iso}}$

$S_{\text{O}} \text{ adsorbed per gr carbon (cc(S.T.P.))}$	$\delta_{\text{iso}} (\text{Kcal/mol})$
5	8.42
10	8.24
20	8.01

1つが占める面積は  $A = 1150 \times 10^2 / \left( \frac{10}{22400} \right) \times 6.05 \times 10^{-23} \approx 430 \text{ \AA}^2$  となる。分子が平均的に一定の円内を移動すると考えると、その半径は $r \approx 12 \text{ \AA}$  であり、分子は単分子膜を形成しうる。

d) 結論：以上の結果より、塗硫酸ガス-活性炭系では、 $150^{\circ}\text{C}$ といふ比較的高温においても、化学吸着より物理吸着によつて吸着されると考えられる。

#### 4. Shell modelによる多孔性吸着剤への一成分系吸着の数値解析

実験と併行して、Shell modelによる数値解析を進めている。その基礎式は。

$$\epsilon \frac{\partial C}{\partial r} + P_p \frac{\partial g}{\partial r} = D_p \frac{\partial^2 C}{\partial r^2} + \frac{2D_p}{r} \frac{\partial C}{\partial r} \quad (7)$$

$$\frac{\partial g}{\partial r} = k_1 C (g_m - g) - k_2 g \quad (8)$$

$$\text{初期条件 } C = 0 \quad g = 0 \quad \text{at } r = 0 \quad 0 \leq r \leq R \quad (9)$$

$$\text{境界条件 } C = C_0 \quad \text{at } r = R \quad r > 0 \quad (10)$$

$$\frac{\partial C}{\partial r} = 0 \quad \text{at } r = 0 \quad r > 0$$

ここで  $D_p$ : 粒子内有効拡散係数、 $\epsilon$ : 粒子の空隙率、 $P_p$ : 粒子密度、 $g$ : 吸着余量当りの吸着量、 $k_1, k_2$ : 速度定数である。(7)～(10)式を無次元化した後、Quasilinearizationを行なつて、Crank-Nicolson 法を差分近似し、パラメータを変化させてその影響を解析しつつある。